

ИЗВЕСТИЯ

ТОМСКОГО ОРДЕНА ОКТЯБРЬСКОЙ РЕВОЛЮЦИИ И ОРДЕНА ТРУДОВОГО  
КРАСНОГО ЗНАМЕНИ ПОЛИТЕХНИЧЕСКОГО ИНСТИТУТА им. С. М. КИРОВА

Том 293

1977

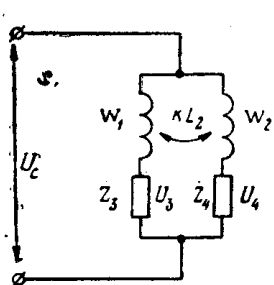
УДК 621.314 : 621.317

**РЕЗОНАНСНЫЕ ЯВЛЕНИЯ В МОСТАХ ПЕРЕМЕННОГО ТОКА  
С ТЕСНОЙ ИНДУКТИВНОЙ СВЯЗЬЮ**

Ю. Б. ВОЛЫНСКИЙ, В. А. РАСКОЛЕНКО

(Представлена научным семинаром физико-технического факультета)

Рассмотрим мост переменного тока, образованный двумя индуктивно связанными катушками с числом витков  $W_1$  и  $W_2$  и двумя со-противлениями  $Z_3$  и  $Z_4$  (рис. 1). Если пренебречь потерями в катушках индуктивности, то при коэффициенте связи, равном единице, для напряжений  $\dot{U}_3$  и  $\dot{U}_4$  могут быть записаны следующие соотношения [1]:



где

$$\dot{U}_3 = U_c \frac{\dot{A} \cdot [1 + \dot{B} (1 + K)]}{\dot{A} + \dot{B} (K^2 + \dot{A})}, \quad (1)$$

$$\dot{U}_4 = U_c \cdot \frac{\dot{A} + \dot{B} (1 + K) K}{\dot{A} + \dot{B} (K^2 + \dot{A})}, \quad (2)$$

$$\dot{A} = \frac{Z_3}{Z_4}, \quad \dot{B} = \frac{j \omega L_2}{Z_h},$$

$L_2$  — индуктивность катушки с числом витков  $W_2$ ,

$$K = \frac{W_1}{W_2}.$$

Рис. 1. Схема моста переменного тока с тесной индуктивной связью

Проанализируем соотношения (1, 2) при  $\dot{A} = \pm \alpha$ ;  $\dot{B} = \pm j \beta$ ;  $B = \pm \beta$ ;  $\dot{B} = j \beta$ . Здесь  $\alpha = |\dot{A}|$ ,  $\beta = |\dot{B}|$ . Особое внимание обратим на те случаи, когда при изменении коэффициентов  $\alpha$  и  $\beta$  либо модули, либо аргументы напряжений  $\dot{U}_3$  и  $\dot{U}_4$  принимают максимальные или минимальные значения. Таких случаев может быть пять.

1.  $A = \alpha$ ,  $B = j \beta$  ( $Z_3 = R_3$ ,  $Z_4 = R_4$ ),

$$\begin{aligned} \dot{U}_3 &= U_{mc} \sqrt{\frac{\alpha^2 + \beta^2 \alpha^2 (1 + K)^2}{\alpha^2 + \beta^2 (K^2 + \alpha)^2}} \times \\ &\times \sin \left[ \omega t + \arctg \frac{\beta K (\alpha - K)}{\alpha + \beta^2 (1 + K) (K^2 + \alpha)} \right], \quad (3) \\ \dot{U}_4 &= U_{mc} \sqrt{\frac{\alpha^2 + \beta^2 K^2 (1 + K)^2}{\alpha^2 + \beta^2 (K^2 + \alpha)^2}} \times \end{aligned}$$

$$\times \sin \left[ \omega t + \operatorname{arctg} \frac{\alpha\beta(K-\alpha)}{\alpha^2 + \beta^2 K(1+K)(K^2+\alpha)} \right]. \quad (4)$$

Особенностью первого случая является то, что при  $\alpha = K$  фазовый сдвиг между напряжением сети и напряжениями  $U_3$  и  $U_4$  становится равным нулю. Эта особенность имеет место как при изменениях  $R_3$ , так и при изменениях  $R_4$ .

$$2. \quad A = -j\alpha, B = j\beta \left( Z_3 = \frac{1}{j\omega C_3}, Z_4 = R_4 \right),$$

$$U_3 = U_{mc} \sqrt{\frac{\alpha^2 + \alpha^2 \beta^2 (1+K)^2}{(\alpha - \beta K^2)^2 + \alpha^2 \beta^2}} \times$$

$$\times \sin \left[ \omega t + \operatorname{arctg} \frac{\beta\alpha K - \beta^2 K^2 (1+K)}{\alpha (1 + \beta^2 K + \beta^2) - \beta K^2} \right], \quad (5)$$

$$U_4 = U_{mc} \sqrt{\frac{[\beta K(1+K) - \alpha]^2}{\alpha^2 + (\beta K^2 - \alpha)^2}} \sin \left[ \omega t + \operatorname{arctg} \frac{\alpha\beta}{\beta K^2 - \alpha} \right]. \quad (6)$$

Во втором случае при  $\alpha = \beta K(1+K)$  становятся равными нулю модуль напряжения  $U_4$  и аргумент напряжения  $U_3$ . При  $\alpha = \beta K^3$  напряжение  $U_4$  опережает по фазе на  $\frac{\pi}{2}$  сетевое напряжение, а модули напряжений  $U_3$  и  $U_4$  могут достигать экстремальных значений. При  $\alpha = \frac{\beta K^2}{1 + \beta^2 K + \beta^2}$  напряжение  $U_3$  отстает по фазе от напряжения  $U_c$  на  $\frac{\pi}{2}$ .

$$3. \quad A = \alpha, B = -\beta \left( Z_3 = \frac{1}{j\omega C_3}, Z_4 = \frac{1}{j\omega C_4} \right),$$

$$U_3 = U_{mc} \frac{\alpha [1 - \beta(1+K)]}{\alpha(1-\beta) - \beta K^2} \sin \omega t, \quad (7)$$

$$U_4 = U_{mc} \frac{\alpha - \beta K(1+K)}{\alpha(1-\beta) - \beta K^2} \sin \omega t. \quad (8)$$

В третьем случае амплитуды напряжений  $U_3$  и  $U_4$  принимают экстремальные значения при  $\alpha = \frac{\beta K^2}{1-\beta}$ . При  $\beta = \frac{1}{1+K}$   $U_3 = 0$ , а  $U_4 = 0$  при  $\beta = \frac{\alpha}{K(1+K)}$ .

$$4. \quad A = -\alpha, B = -\beta \left( Z_3 = j\omega L_3, Z_4 = \frac{1}{j\omega C_4} \right),$$

$$U_3 = U_{mc} \frac{\alpha [1 - \beta(1+K)]}{\alpha(1-\beta) + \beta K^2} \cdot \sin \omega t, \quad (9)$$

$$U_4 = U_{mc} \frac{\alpha + \beta K(1+K)}{\alpha(1-\beta) + \beta K^2} \cdot \sin \omega t. \quad (10)$$

В четвертом случае резонансные явления имеют место при  $\beta = \frac{\alpha}{\alpha - K^2}$ . Как и в предыдущем случае, при  $\beta = \frac{1}{1+K}$   $U_3 = 0$ .

5.  $A = -\alpha, B = \beta \left( \dot{Z}_3 = \frac{1}{j\omega C_3}, \quad \dot{Z}_4 = j\omega L_4 \right),$

$$U_3 = U_{mc} \frac{\alpha [1 + \beta (1 + K)]}{\alpha (1 + \beta) - \beta K^2} \sin \omega t, \quad (11)$$

$$U_4 = U_{mc} \frac{\alpha - \beta K (1 + K)}{\alpha (1 + \beta) - \beta K^2} \sin \omega t. \quad (12)$$

Для пятого случая резонансные явления возникают при  $\alpha = \frac{\beta K^2}{1 + \beta}$ ,  
а  $U_4 = 0$  при  $\alpha = \beta K (1 + K)$ .

Сравнение случаев (1—5) показывает, что наибольший интерес представляют случаи 3 и 5, позволяющие с высокой точностью фиксировать параметры  $Z_3$  или  $Z_4$ , соответствующие выполнению условия  $\alpha = \frac{\beta K^2}{1 + \beta}$ .

Если параметр  $\beta$  является постоянной величиной ( $Z_4 = \text{const}$ ), то, измеряя величины напряжений  $U_3$  или  $U_4$ , можно осуществлять контроль параметра  $Z_3$ . Если  $\beta$  является переменной величиной, то изменение параметра  $Z_4$  может быть осуществлено компенсационным методом путем изменения параметра  $Z_3$  и фиксации его значения в момент возникновения резонанса в рассматриваемой системе.

#### ЛИТЕРАТУРА

1. Л. А. Бессонов. Теоретические основы электротехники. М., «Высшая школа», 1961.
-